

# بررسی عملکرد سیستم چندلایه‌ی پوشش عایق شیروانی لندفیل تحت بارگذاری هیدرولاستاتیکی خارجی

<sup>\*</sup> جتبی جعفری کرمانی پور (دانشجوی دکتری)

سید هرتسی هرندي (استاد)

گروه مهندسی عمران، دانشکده‌ی فنی و هندسی، دانشگاه شهید باهنر کرمان

اضافه شدن ماسک و دستکش آلوده به زباله های شهری و مدیریت غیرعلمی پسماند، خطر افزایش همهگیری کرونا را به همراه دارد. علاوه بر این، آلودگی محیط‌زیست و آب های زیرزمینی در کشورهای در حال توسعه، به طور قابل توجهی نیاز به استفاده از محل های دفن علمی پسماند را برای کاهش خطر ابتلاء به بیماری های همه‌گیر افزایش داده است. آنالیز عددی به طور گسترده‌بی در طول سه دهه گذشته برای ارزیابی پایداری و یکپارچگی سیستم های پوشش دفن پسماند استفاده شده است. در نوشتار حاضر وجود جریان آب در چهار کد ارتفاعی در پشت شبیب جداره لندفلیل بررسی شده است. برای اعتبارسنجی مدل سازی، نتایج با اندازه‌گیری های ابزار دقیق در محل ارزیابی و مدل المان محدود سه بعدی (FE) توسط نرم افزار آباکوس اجرا شده است. نتایج نشان می دهند که یک سیستم پوشش با سطح آب تا ۷۵٪ ارتفاع شبیب جانبی، اینمی کافی در برای خرابی دارد؛ اما در هنگام پُر شدن تا ارتفاع کامل شبیب، رومه میرین گسخخته می شود.

واژگان کلیدی: لنوفیل، سیستم پوشش جداره، ژئوستنتیک، مدل‌سازی عددی، فشار هیدرواستاتیکی.

marandi@uk.ac.ir  
mjkp1365@gmail.com

## ١. مقدمة

حال، مطالعات موجود به ندرت عملکرد ریوستیک‌ها را در برایر فشاره هیدرولیکی خارجی ناشی از حضور آب‌های سطحی و سیلاب در نظر گرفته است. لذا پایداری دوام ریوستیک‌ها تحت تأثیر شرایط سطح آب متغیر، هنوز مشخص نشده است. دیکسون<sup>۲</sup> و همکاران (۲۰۱۲)، پایداری دوام لایزر ریوستیکی را با تمرکز بر مشکلات مهندسی رایج حین ساخت لندفلی مطالعه کرده‌اند.<sup>[۱]</sup> مطالعه‌ی مذکور شامل: ارزیابی در حین ساخت، ایترفیس کرنش نرم‌شوندگی، خراحت پیش‌روزه، تشنهای کششی در مصالح، نمایش خصوصیات و رفتار پسماند، پیری و تخریب زیستی پسماند است. بر این اساس، هدف از مطالعه‌ی گزارش شده، بررسی ایترفیس بین مصالح نصب شده در شبیه‌های محل دفن پسماند و رفتار کرنش نرم‌شوندگی بوده است. نتایج پژوهش اخیر تأیید کرده است که مقاومت برشی ایترفیس پس از رسیدن به مقدار پیشنهادی خود، با تغییر شکل زیاد به مقدار تنش پسماند<sup>۳</sup> رسیده است.

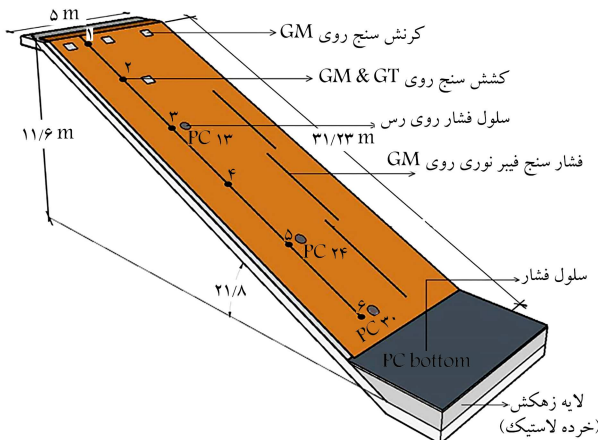
تاکنون، برای حل تعدادی از مسائل پیچیده‌ی مهندسی ژئوتکنیک جهت تعیین عملکرد اندرکنش مصالح ژئوستاتیکی با یکدیگر و لایه‌های خاک از شیوه‌سازی در محیط نرم افزار آباکوس<sup>۴</sup> استفاده شده است.<sup>[۱۵-۱۶]</sup> مکانیسم اندرکنش یک قاب ساختمانی<sup>۱۰</sup> طبقه که بر روی پایه‌ی شمع‌های معمولی تحت گیسختگی گسل امتداد نفع باز نماید، شبیه<sup>۹۰</sup> ۹۰ درجه قرار دارد، از طرفی، شیوه‌سازی، علدهی، احناه محدود

مهم ترین مشکل در محل های دفن زباله، تخلیه ای کنترل نشده ای شیرابه هاست، که باعث آلودگی آب های سطحی و زیرزمینی می شود. به عنوان یک قاعده ای کلی، شیرابه بسته به عوامل متعددی، چون: زمان سپری شده، دما، عمق محل دفن، هیدرولوژی محل، ترکیب پسماند و همچنین میزان رطوبت محیط، ویژگی های متفاوتی در مناطق مختلف دفن زباله دارد.<sup>[۱۲]</sup> آنالیز پایداری شبیج دارهای لندفلی، یک موضوع زیست محیطی است که با همکاری با یک زمین شناس قابل حل است.<sup>[۱۳]</sup> با امترهای برشی مصالح سیستم پوش و ایترفیسین بین آن ها به عنوان عوامل اصلی موردنیاز برای تحلیل پایداری شبیج محل دفن پسماند در نظر گرفته می شود.<sup>[۱۴]</sup> از ژئوتکستایل و ژئومیرین به عنوان عایقی در برابر نشت از کف و جدارهای محل های دفن زباله استفاده می شود. کاربردهای متعدد و نصب ساده ای آن ها، طراحان و پیمانکاران را به استفاده از ژئوستنتیک ترغیب می کند. نتایج عملکرد در محل ژئوستنتیک ها و رفتار آن ها در مراحل ساخت لندفلی<sup>[۱]</sup> با استفاده از ابزار دقیق بررسی شده است.<sup>[۱۵]</sup> اندرکشش بین لایه های ژئوستنتیک و مقادر رایج استفاده شده ای آن در لندفلی از طریق داده های ۷۶ آزمایش ارائه شده است.<sup>[۱۶]</sup> با این

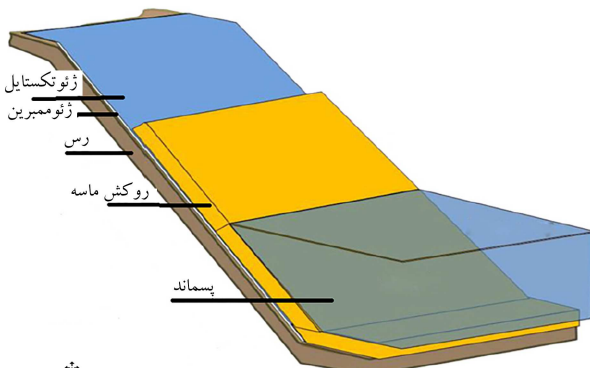
\* نویسنده مسئول

تاریخ: دریافت ۱۷/۳/۱۴۰۱، اصلاحیه ۲۵/۵/۱۴۰۱، بذیرش ۳۰

DOI:10.24200/J30.2022.60452.3103



شکل ۱. هندسه و محل قرارگیری ابزار دقیق.



شکل ۲. طرح شماتیک سیستم پوشش چندلایه‌ی جداره‌ی لندفیل.

لایه‌ی دوم ماسه ریخته شد و دوباره، پسماند، لایه‌ی ماسه را پوشاند. درنهایت، لایه‌ی سوم ماسه و بعد پسماند ریخته شد تا کل شیب جداره‌ی لندفیل پر شود.

### ۳. ارزیابی روند مدل‌سازی

از مطالعات زاما را و همکارانش (۲۰۱۲) و مدل‌سازی عددی آن‌ها در نرم‌افزار FLAC (۲۰۱۴) جهت ارزیابی نتایج مدل‌سازی عددی حاضر استفاده شده است.<sup>[۱۸]</sup> در مدل‌سازی مرجع از سه داده‌ی ورودی جهت مدل‌سازی استفاده شده است. در حالت اول، از مقادیر بیشینه‌ی خصوصیات مقاومتی مصالح استفاده شده است؛ در نتیجه، خروجی‌ها کمترین تنش و کرنش و جایه‌جایی‌ها را نشان داده‌اند. در حالت دوم در نرم افزار برای مدل کردن تغییر شکل‌های زیاد ایجاد شده در محل در اثر تنش‌های حرارتی ناشی از تابش خورشید، پارامترهای مقاومتی مصالح کاهش داده شد. (جایه‌جایی‌ها و تنش‌های زیاد در قسمت بالایی شیب لندفیل در لایه‌های ژئوستنتیکی به علت قرارگرفتن طولانی مدت در معرض نور خورشید بود). در حالت سوم، با اعمال مدل رفتاری کرنش نرم‌شوندگی برای اندرکش مصالح، رفتار مصالح در شرایط نرمال (بدون درنظر گرفتن تنش‌های ناشی از اثر نور خورشید) مدل‌سازی شده است. در مدل‌سازی حاضر نیز که در نرم افزار آباکوس انجام شده است، از مدل رفتاری کرنش نرم‌شوندگی اندرکش مصالح استفاده و نتایج آن با حالت سوم مدل‌سازی مرجع مقایسه شده است.

سه‌بعدی مطالعه شده است.<sup>[۱۶]</sup> لیانگ<sup>۵</sup> و همکاران (۲۰۱۲)، یک المان کاربری را برای تحلیل دینامیکی سه‌بعدی محیط متخلخل اشیاع شده از سیال براساس معادلات U-U ایجاد کردند.<sup>[۱۷]</sup>

در نوشتار حاضر، ابتدا نتایج یک مدل وابسته به زمان در نرم‌افزار آباکوس، با نتایج اندازه‌گیری‌های ابزار دقیق قرار گرفته بر روی لایه‌های سیستم پوشش در محل لندفیل می‌لیگیت<sup>۶</sup> در انگلستان مقایسه شده است. سیستم پوشش مطالعه شده از یک لایه روس فشرده که توسط ژئومبرین، ژئوتکستایل و یک لایه ماسه پوشیده شده بود، تشکیل شده است. پروژه‌ی ساخت لندفیل مورد نظر در ماه ژوئن ۲۰۰۹ آغاز شد و مانیتورینگ آن تا ۳ سال بعد از آن ادامه داشت. ابزار دقیق نصب شده در سایت، شامل: سلول‌های فشار (PC)، اکستنسیومتر (EXT)<sup>۷</sup>، فشارسنج فیبر نوری (FO)، کرنس‌سنج (DSG) و دماسنج اضافی بوده است. مدل‌سازی حاضر، مراحل ساخت سیستم پوشش شیب جانبه لندفیل در مناطق سیل خیز، مانند عملکرد صحیح سیستم پوشش شیب جانبه لندفیل در مناطق سیل خیز، مانند مناطق استوایی و ساحلی است. در ادامه، پیشنهاد نصب زهکشی مناسب در مناطق در معرض خطر حضور آب با ارتفاع بیش از ۷۵٪ ارتفاع جداره‌ی لندفیل داده شده است.

## ۲. مصالح و هندسه

در بخش حاضر، فرایند مدل‌سازی، لندفیل می‌لیگیت در شرق یورکشاير انگلستان به عنوان مدل واقعی برای راستی آزمایی نتایج خروجی نرم‌افزار انتخاب شده است. جزئیات آزمایش در محل، شامل ابعاد و موقعیت ابزار در شیب در شکل ۱ مشاهده می‌شود.

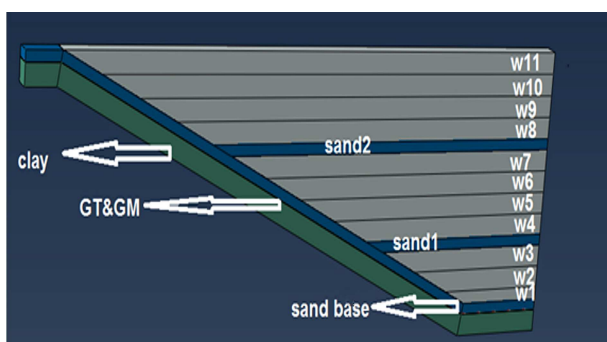
سیستم پوشش استفاده شده در مدل، شامل رول‌های ژئومبرین<sup>۸</sup> با عرض ۵ متر و ضخامت ۲ میلی‌متر با چگالی ۹۴۹۰ کرم بر سانتی‌مترمکعب بر روی خاک روس فشرده با ضخامت ۱ متر و بیشینه‌ی نفوذپذیری  $10^{-9}$  × ۱ بوده است. برای پوشش لایه‌های ژئومبرین از رول‌های ژئوتکستایل<sup>۹</sup> سوزنی بافته نشده با عرض ۵ متر دارای مقاومت (KN) ۴۵، ضخامت (mm) ۷/۸ و وزن (gr/m) ۱۴۰ استفاده شده است. ژئومبرین و ژئوتکستایل به ترتیب دارای مدول یانگ<sup>۱۰</sup>  $E = ۳۳۵ MPa$  و  $E = ۱۲۰ MPa$  بوده‌اند. در شکل ۲، سیستم پوشش چندلایه‌ی شماتیک شیب جانبه محل دفن پسماند مشاهده می‌شود. ژئومبرین (GM) و ژئوتکستایل (GT) در بالای ترانشه در قلاب U شکل ۶۰۰ میلی‌متر تا ۶۰۰ میلی‌متر مهار شده‌اند (زاما<sup>۱۱</sup> و همکاران ۲۰۱۲).<sup>[۱۲]</sup> قبل از ریختن پسماند و در حین ساخت لندفیل، یک روکش ماسه‌یی به ضخامت ۵ سانتی‌متر روی ژئوتکستایل قرار گرفته است. روکش ماسه‌یی، امکان اندازه‌گیری پاسخ لایه‌های ژئوستنتیک (زمین پارچه‌ها)<sup>۱۱</sup> را با توجه به بارهای اعمالی مختلف فراهم می‌کند. در واقع روکش ماسه‌یی به دلیل ریزدانه بودن، نفوذپذیری نسبی کم، و حساسیت آن به پرشدن خفره‌ها نمی‌تواند به عنوان زهکش به خوبی عمل کند. در سیستم‌های عایق جداره‌ی لندفیل از مصالح دانه‌یی و عموماً شنی در کف و جداره‌ی آن برای زهکشی شیرابه استفاده می‌شود. با این حال در لندفیل مطالعه شده، به دلیل در دسترس نبودن مصالح مناسب از ماسه استفاده شده است. قبل از ریختن پسماند، لایه‌ی اول ماسه در طول شیب تا ارتفاع ۱۰ متر ریخته شده است. پس از پوشاندن لایه‌ی اول ماسه با پسماند،

## جدول ۱. خصوصیات مصالح استفاده شده.

نسبت پواسون	مدول یانگ (MPa)	$c'$ (kPa)	$\varphi'$ (°)	وزن مخصوص	مدل	مصالح
۰ / ۳	۰ / ۵	۵	۲۵	۱	موهر - کلمب	پسماند
۰ / ۴	۷۰	۰	۳۵	۱ / ۷	موهر - کلمب	لا یه ماسه
۰ / ۳	۱۵۰	۵	۲۳	۱ / ۷	موهر - کلمب	پوشش رسی

#### جدول ۲. خصوصیات اینترفیس مصالح استفاده شده در نرم افزار.

(kPa/m)		بیشینه/پاچی مانده		اینترفیس
برشی	نرمال	$\alpha(kPa)$	$\delta(^{\circ})$	
۵۰۰۰	۱۰۰۰۰	۵	۲۰	پیماند/ما سه ما سه/ژو توکستایل
۴۵۰۰	۱۰۰۰۰	۶, ۳ / ۱, ۸	۲۹, ۹ / ۲۹, ۶	حالت خشک
-	-	۳, ۲ / ۱, ۳	۲۹, ۶ / ۲۹, ۹	حالت تر
۴۵۰۰	۱۰۰۰۰	۲, ۳ / ۱, ۴	۱۹, ۹ / ۱۳, ۳	حالت خشک
-	-	۴ / ۲, ۹	۲۰, ۸ / ۱۴, ۷	حالت تر
۵۰۰۰	۱۰۰۰۰	۸ / ۸	۲۲ / ۲۲	ژو ممبرین / رس
-	-	۷, ۶ / ۳, ۲	۳۱, ۱ / ۲۵, ۱	حالت زه کشی شده
۵۵۰۰	۱۰۰۰۰			حالت زه کشی نشده



شکل ۳: مراحل ساخت و نیو شدن لندفل (سماند = w).

### ۱.۳ نرم افزار رایانه‌یی اجزاء محدود

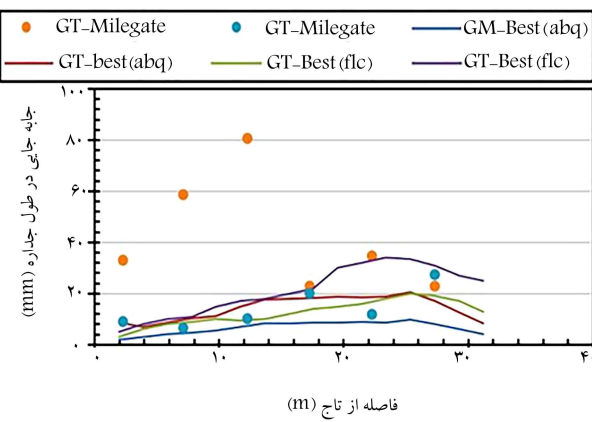
از روش دینامیکی ایمپلیسیت<sup>۱۲</sup> اجراء محدود در نرم افزار آباکوس برای مدل سازی و پیش بینی رفتار اجزاء پوشش جداره لندفیل استفاده شده است. از نرم افزار آباکوس در تعدادی از مطالعات پیشین در حوزه مهندسی ژئوتکنیک طراحی آباکوس در سیستم پوشش مطالعات صورت گرفته تاکنون نشان داده لندفیل استفاده شده است.<sup>۱۳</sup> مطالعات صورت گرفته تاکنون نشان داده است که از نرم افزار آباکوس می توان برای مدل سازی دامنه وسیعی از مواد، مدل سازی ساخت مرحله بی، اندرکنش با خصوصیت کرنش نرم شوندگی مصالح گوناگون در سیستم پوشش، و تخمین کرنش مصالح ژئوستیکی به خوبی بهره ور.

### ۳.۳. مدل سازی سیستم پوشش چند لایه

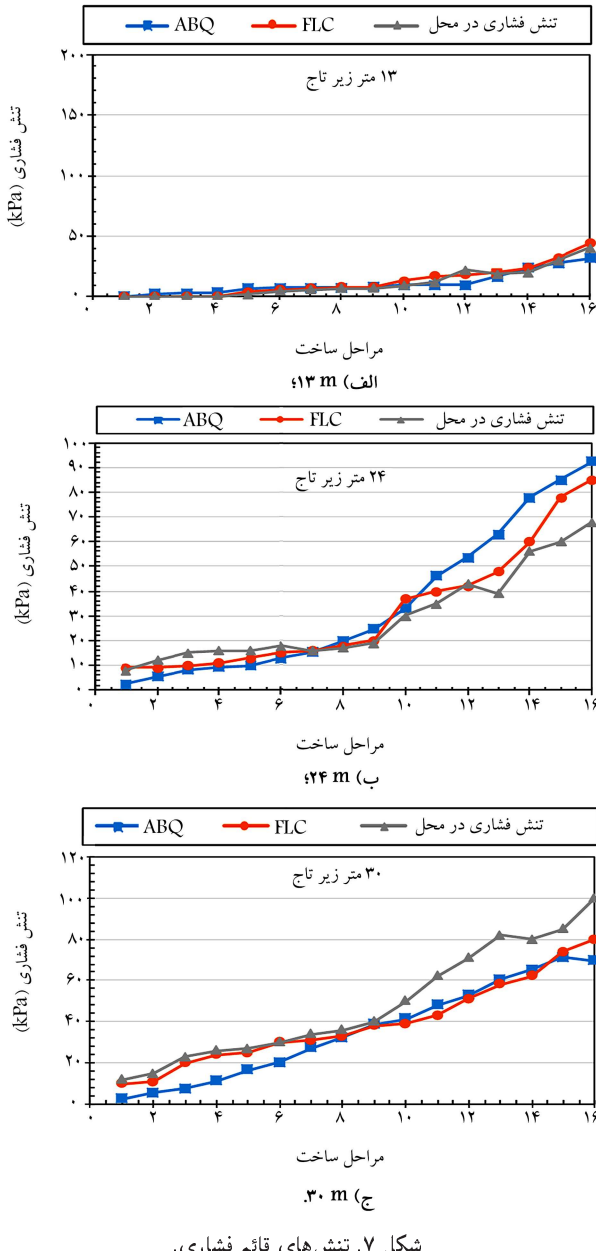
سیستم پوشش رژیوستیکی به صورت یک سیستم چندلایه‌ی قرارگرفته بر بستر صلب بدون جایه‌جایی فرض شده است. در نتیجه، لایه‌ی رس متراکم به عنوان یک لایه‌ی پایدار و بدون جایه‌جایی مدل شده است. لایه‌های رژیوستیک نیز به عنوان یک المان تیره در بالای تراشه مهار شده، مدل شده‌اند. سه اندرکشین بین المان‌های سیستم پوشش، شامل: (الف) رس/رژومبرین، (ب) رژومبرین/رتوکستایل، (ج) رژوتکستایل/اماسه در نظر گرفته شده است. از مقادیر زاویه‌ی اصطکاک و چسبندگی پسماند برای اندرکشین بین پسماند و ماسه نیز استفاده شده است. برای مدل سازی رفتار اندرکشنس خاک و پسماند نیز از معیار گسیختگی موهر- کولمب استفاده شده است که به همراه خصوصیات مصالح در جدول ۱ ارائه شده است.

۲۰۳ . روند مدل‌سازی

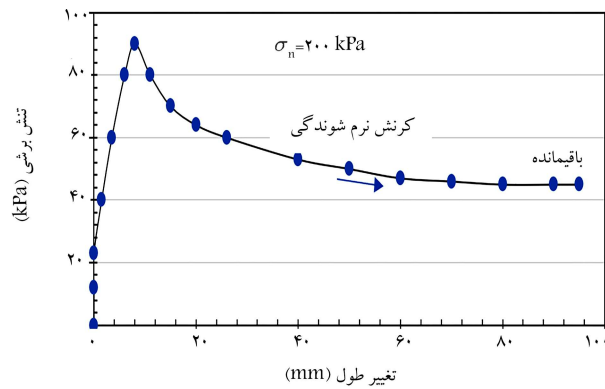
دو پارامتر مهم در مدل سازی انجام شده، شامل ساخت مرحله به مرحله‌ی سلول‌های لنذفیل و مراحل پر کردن سلول‌ها با پسمند بوده است. ساخت و بارگذاری مدل لنذفیل در ۱۷ مرحله انجام و به هر مرحله ۱۰ ثانیه اختصاص داده شد. در واقع ثانیه‌ی ۱۷۰ مربوط به آخرین مرحله یعنی اضافه شدن فشار هیدرواستاتیکی است. لنذفیل مذکور بر روی یک لایه رس متراکم به ضخامت ۱ متر در کف و جداری آن اجرا شده است. لایه‌های ماسه در سه مرحله در طول شبیب و بین پسمندانه با ضخامت ۵۰ سانتی‌متر ریخته شده‌اند. تقریباً روی هر لایه‌ماسه، ۴ لایه‌ی پسمند به ارتفاع ۱ متر ریخته شده است. در نهایت، مدل مانند شکل ۳، شامل ۱۶ لایه (لایه‌ی اول رس، لایه‌ی دوم ماسه، لایه‌های سوم تا ششم پسمند، لایه‌ی هفتم ماسه، لایه‌های هشتم تا یازدهم پسمند، لایه‌ی دوازدهم ماسه، لایه‌های سیزدهم تا شانزدهم پسمند) بوده است.<sup>[۱۸]</sup>



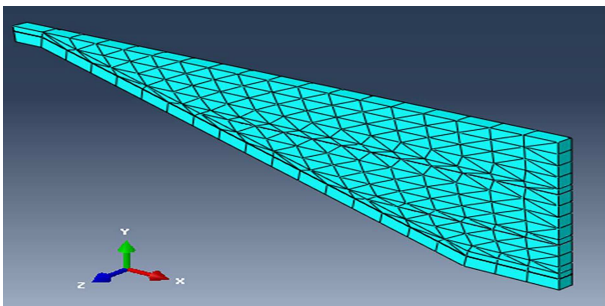
شکل ۶. مقایسه‌ی نتایج جابه‌جایی‌های به دست آمده از ابزار دقیق و مدل‌سازی پس از پرشدن لنوفیل.



شکل ۷. تنش‌های قائم فشاری.



شکل ۸. مثالی از آزمون برش مستقیم.



شکل ۹. مثالی از آزمایش برش مستقیم.

در نمودار تنش برشی - جابه‌جایی آزمون برش مستقیم هستند.<sup>[۲۰]</sup> در شکل ۴، مثالی از نمودار تنش برشی - جابه‌جایی آزمون برش مستقیم برای تعیین مقادیر اینترفیس بین مصالح پوشش مشاهده می‌شود.<sup>[۱۱]</sup>

#### ۴.۳. مش اجزاء محدود مدل

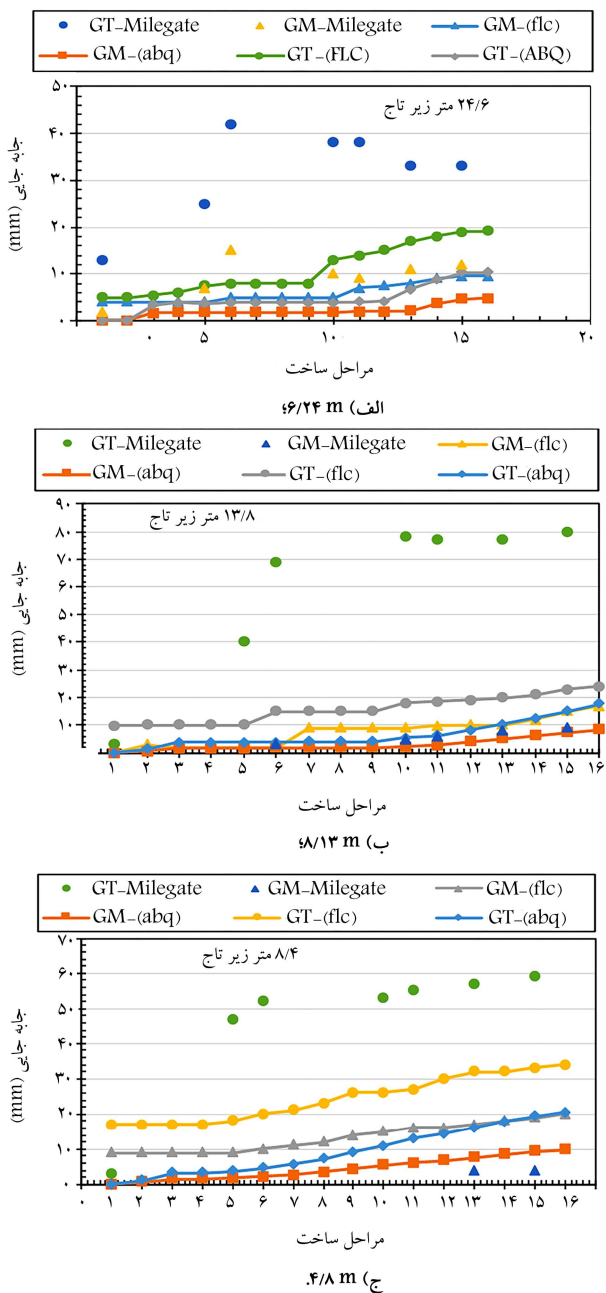
شبکه‌ی استفاده شده در مدل‌سازی از نوع شش‌وجهی مکعبی و گوهی بوده است. در مدل‌سازی اخیر به دلیل تعداد زیاد لوب‌ها و واگرایی نتایج از شبکه با اندازه‌ی ۳۰ سانتی‌متر بر روی لایه‌های ژئوستاتیک و در سایر المان‌ها از شبکه‌های ۱ متری استفاده شده است. در شکل ۵، شبکه‌بندی جداره‌ی لنوفیل مشاهده می‌شود.

#### ۴.۴. بررسی راستی آزمایی نتایج

مقادیر تنش فشاری وارد شده بر روی سیستم پوشش در حدود مقادیر اندازه‌گیری شده از سلول‌های فشار نصب شده در لنوفیل بوده‌اند. بنابراین تنش‌های وارد بر سیستم پوشش را می‌توان با مدل‌سازی عددی محاسبه کرد. در مدل اخیر، زمان مستقیماً در نظر گرفته نشده است، اما مراحل ساخت و بارگذاری پسماند به عنوان عامل زمانی در نظر گرفته شده است.

جامع‌ترین و منطقی‌ترین نتایج توسط اکستنسیو‌مترهای نصب شده بر روی GT و GM به دست آمده است. لذا ابتدا در مدل‌سازی عددی با سعی و خطأ نتایج ثبت شده توسط کشش‌سنج‌ها بازتولید شده است.<sup>[۱۸]</sup> در شکل ۶، نیز مقادیر جابه‌جایی اندازه‌گیری شده توسط کشش‌سنج‌ها روی GM و GT در طول شبیه در پایان مراحل ساخت با نتایج مدل‌سازی در نرم افزار مشاهده می‌شود.

در شکل ۷، نمودارهای تنش فشاری ثبت شده توسط سلول‌های فشاری و نتایج به دست آمده از دو مدل‌سازی، در طی مراحل ساخت مشاهده می‌شود. همان‌طور که در شکل ۷الف مشهود است، نتیجه‌های فشاری در یک سوم



شکل ۸. جایه‌جایی در لایه‌های زئوتمیرین و زئوتکستایل در ارتفاع.

#### ۴. مدل سازی فشار هیدرواستاتیکی

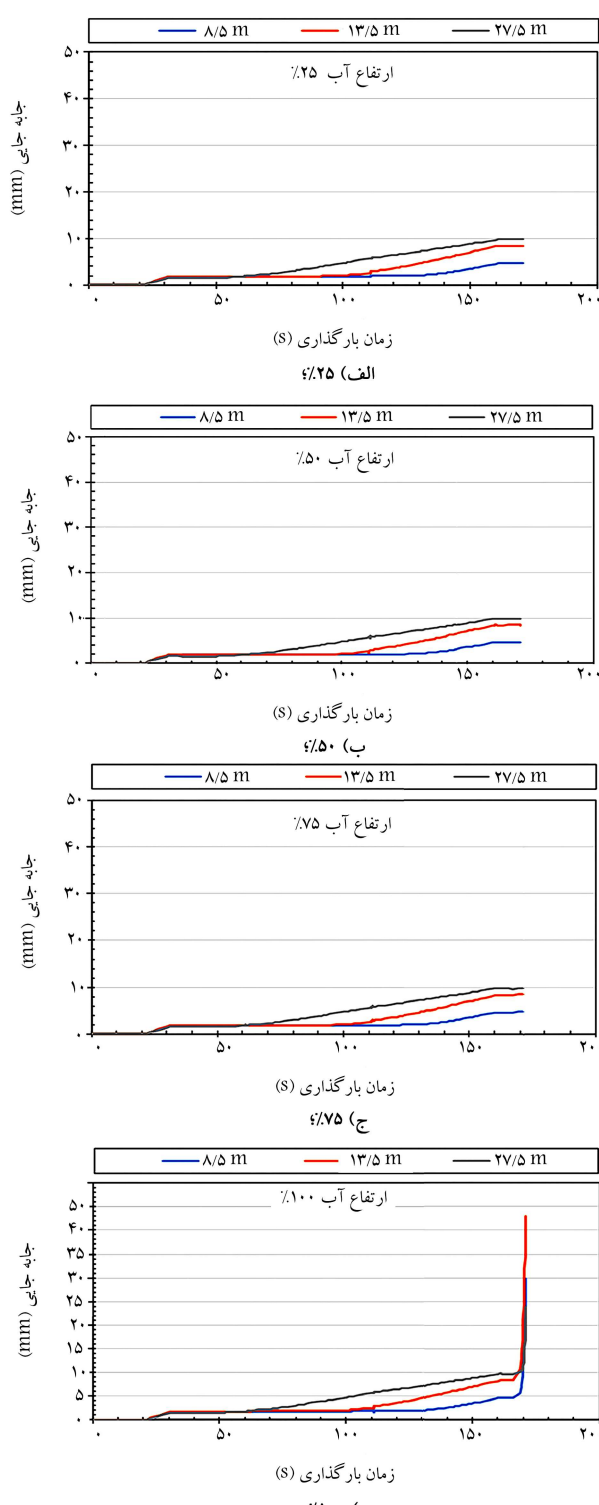
جهت تعیین اثر فشار هیدرولاستاتیکی پشت جداره‌ی لنلفیل، فشار هیدرولاستاتیکی در ۴ تراز ارتفاعی (۲۵٪، ۵۰٪، ۷۵٪ و ۱۰۰٪ ارتفاع جدار) اعمال شده است. در فرض مسئله به این نکته توجه شده است که مدل، یک میسیتم لایه‌ی چند سانتی‌متری است و بحث ناپایداری خارجی در پژوهش حاضر مطرح نیست. ۱۰ المان مهم از نظر پایداری داخلی، لایه‌ی ژئوممبرین است که نقش آب‌بند را اجرا می‌کند و لایه‌ی ژئوتکستайл جهت محافظت از لایه‌ی ژئومبرین استفاده شده است. ۱۵ مدل سه بعدی جداره‌ی لنلفیل و فشار هیدرولاستاتیکی اعمالی به مدل در شکل ۹ مشاهده می‌شود.

بالایی شیب در طی مراحل ساخت، روند افزایشی داشته و فشار وارد به لایه‌ی رسی بعد از قرارگیری پسماند و اعمال وزن آن در مراحل چهارم به بعد افزایش یافته است، تا به مقدار بیشیه‌ی خود رسیده است. مقادیر به دست آمده بیانگر همگرایی خوبی بین نتایج نرم‌افزاری و ابزار دقیق است. در ارتفاع ۲۴ متری از زیر تاج و در واقع در یک سوم میانی شیب با توجه به قرارگیری لایه‌های پوشش و پسماند در مراحل اولیه، تنش‌ها نسبت به ارتفاع ۱۳ متری سریع‌تر رشد داشته‌اند و متوسط مقادیر آن‌ها در مراحل مختلف ساخت اختلافی در حدود ۵٪ را نشان می‌دهد. همچنین به دلیل قرارگرفتن لایه‌های بیشتری از پسماند در ارتفاع ۲۴ متری از شیب نسبت به ارتفاع ۱۳ متری، بخش کوئنی تنش‌های فشاری بیشتری تجربه کرده است. در یک سوم انتهایی مقطع شیب شیروانی جداره‌ی لنده‌ی و در ارتفاع ۳۰ متری از زیر تاج همان‌طور که در شکل ۷ ج مشاهده می‌شود، تنش‌های فشاری در محل به مقدار بیشینه‌ی ۱۰۰ کیلوپاسکال رسیده‌اند که تنش‌های اخیر در مدل نرم‌افزاری به مقادیر بیشینه‌ی ۸۰ کیلوپاسکال محدود شده‌اند. این مسئله نشان می‌دهد که علاوه بر تنش‌های فشاری ناشی از وزن مصالح و پسماند، تنش‌های فشاری ناشی از حرارت تولیدشده در پایین شیب شیروانی نیز وجود دارد که مقادیر مذکور توسط ترمومترها در محل ثبت شده‌اند.

در شکل ۸، نمودارهای جابه‌جایی‌های ژوئنکستاپل و ژئوممبرین ثبت شده توسط اکستنسیومرها و همچنین نتایج به دست آمده از مدل سازی عددی پژوهش مرجع (نرم افزار [۴]، FLAC) و پژوهش حاضر (نرم افزار آباکوس) مشاهده می‌شود. نتایج اکستنسیومرهای نصب شده روی GM و GT طی سه سال ساخت و پر شدن لندفیل از پسماند ثبت شده‌اند. مطابق نمودارهای جابه‌جایی‌ها در شکل ۷، مقادیر جابه‌جایی برای لایه GT در این مقطع به دلیل تعطیلی پروزه به مدت ۲ سال و قرار گرفتن لایه GT در معرض نور خورشید، کشش سنج ها جابه‌جایی تا ۸۰ میلی‌متر را ثبت کردند، ولی در مدل سازی نرم افزاری با توجه به مدل رفتاری کرنش نرم شوندگی اندرکیشن، جابه‌جایی بیشینه‌ی ۱۸ میلی‌متر ثبت شده است.

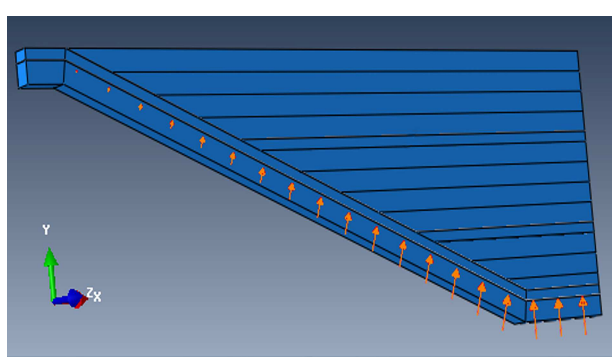
رفتار زئومبرین: جابه‌جایی‌های ثبت شده در زئومبرین، روند افزایش تدریجی در طی روند پرشدن سلول در تمام طول شیب را نشان می‌دهند. اما جابه‌جایی‌های ناشی از قرارگرفتن روکش ماسه، اندک است. اکستنیزیومترها بیشترین جابه‌جایی را می‌لیتر ثبت کرده‌اند. ولی دامنه‌ی جابه‌جایی ثبت شده در پنل‌های  $25/9$  میلی‌متر ثبت کرده‌اند.  $GM$  بین  $20-10$  میلی‌متر توسط ابار دقیق ثبت شده و همچنین هیچ ارتباط معنی‌داری بین محل‌های افزایش جابه‌جایی‌ها در زئومبرین و زئونکستایل در راستای شیب سدا نشده است.

رفتار زوتکستایل: جایه جایی های قابل توجهی برای لایه GT توسط ابزار دقیق بُش شده است. اکسنتسیو مرها بای که در وسط و بالای شیب قرار داشته باشد، جایه جایی به میزان شیب تا ۸۰ میلی متر را بُش کرده‌اند. جایه جایی های اخیر به دلیل تأثیر در اجرای پروژه و اجرانشدن روکش‌های دوم و سوم ماسه و در نتیجه در معرض نور خورشید قرارگرفتن GT بوده است. در پژوهش حاضر نتایج جایه جایی GT با مقادیر مدل سازی عددی پژوهش مرجع<sup>[۱]</sup> در حالت کرنش نرم شوندگی اندرکشنس همخوانی پیدا کرده است. مطابق نتایج به دست آمده در نمودار نشش فشاری و جایه جایی در طی مراحل ساخت مشخص است که مدل سازی صورت گرفته در پژوهش حاضر به خوبی نتایج پژوهش مرجع را بازنویسید کرده است.



شکل ۱۰. جایه‌جایی در لایه‌ی ژئوممبرین در تراز آب.

به دست آمده از آزمون‌های آزمایشگاهی روی سیستم پوشش لندفیل، بهترین همچومنی را با نتایج نتش‌های به دست آمده از ابزار دقیق به کار رفته در محل داشته است. همچنین ارتباطی بین مکان جایه‌جایی‌ها در محل و مدل یافت نشده است، اما براساس روش کرنش نرم‌شوندگی، نتایج به دست آمده از مدل، همگرایی خوبی با نتایج در محل داشته‌اند.



شکل ۹. مدل سه‌بعدی اعمال فشار هیدرواستاتیکی به لایه‌ی ژئومبرین در کل ارتفاع شیب جداره (۱۰۰٪ ارتفاع جداره).

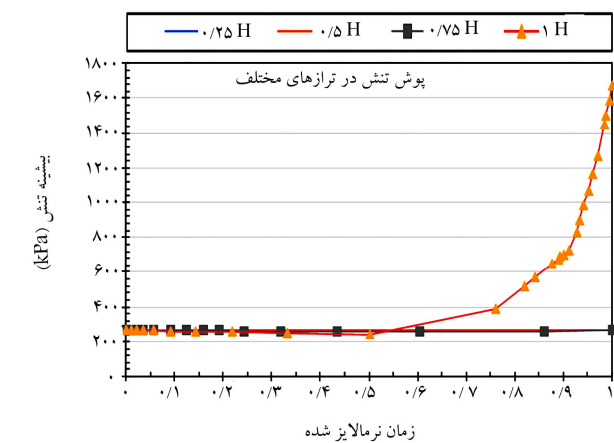
در شکل‌های ۱۰ و ۱۱، نمودارهای جایه‌جایی GM و GT در ۴ تراز مختلف فشار هیدرواستاتیکی رسم شده‌اند؛ که در آن‌ها، جایه‌جایی‌ها در طی مرحله ساخت و اعمال فشار هیدرواستاتیکی مشاهده می‌شوند. مطابق نمودارهای اخیر، تأثیر فشار هیدرواستاتیکی آب در جایه‌جایی‌ها اندک است، مگر در تراز بیشینه‌ی ارتفاع آب (۱۰۰٪ ارتفاع) که جایه‌جایی‌ها در این مرحله به صورت جهشی افزایش یافته‌اند. همان‌طور که در نمودارهای مذکور مشاهده می‌شود، در زمان ۱۷۰، فشار آب به مدل اضافه شده است. زمانی که ارتفاع آب از ۷۵٪ عبور کرده است، تا زمان رسیدن به تاج شیروانی، افزایش حادی در نتایج جایه‌جایی ژئوستاتیک‌ها به واسطه‌ی از بین رفتن مقاومت کششی در لایه‌های اشاره شده مشهود است.

در شکل ۱۲، پوشش بیشینه‌ی نتش‌های اصلی واردہ بر لایه‌ی ژئومبرین در زمان نرم‌الایز شده مشاهده می‌شود. نتایج نشان می‌دهند که نتش برشی در لایه‌ی ژئومبرین، تغییر چندانی را تجربه نکرده است، به جز در ارتفاع ۱۰۰٪ آب، که نتش تا مقدار ۱۶۸۰ kPa افزایش یافته است که افزایش ذکر شده، این حقیقت را آشکار می‌کند که لایه‌ی ژئومبرین از زمان حضور آب، نتش آب بند خود را ایفا کرده و این حد از نتش با توجه به مقاومت لایه‌ی HDPE منجر به گسیختگی آن شده است.

## ۵. نتیجه‌گیری

یافتن ژئوتکسیل‌ها و ژئومبرین‌های مناسب برای کاربردهای آب بندی حائز اهمیت است. بنابراین قابلیت اطمینان و دوام آن‌ها در برابر نتش‌های داخلی ناشی از جرم پسمند و فشار خارجی ناشی از وجود آب کنترل می‌شود. ابتدا برای ارزیابی روش‌های طراحی استاندارد با مدل سازی عددی و درک بهتر عملکرد سیستم پوشش، مدل سازی عددی شیب جداره‌ی لندفیل مورد مطالعه با داده‌های میدانی مقایسه شده است. نتایج مطالعه نشان دادند که مدل ارائه شده در مطالعه‌ی حاضر می‌تواند رفتار سیستم پوشش چندلایه‌ی پُر شده با پسمند را به خوبی مدل کند. در پژوهش حاضر، این نتایج به دست آمده است:

۱. مطالعات محلی نشان داده‌اند که بخش‌هایی از GT، تغییر طول بسیار زیادی را تجربه می‌کنند. این رفتار سیستم پوشش را نمی‌توان دقیقاً با مدل عددی شبیه‌سازی کرد. با وجود این، رفتار قسمت‌هایی از سیستم پوشش، که در معرض نور خورشید نیستند و بلا فاصله پوشش داده شده‌اند، را می‌توان با استفاده از روش کرنش نرم‌شوندگی مدل سازی کرد. مدل کرنش نرم‌شوندگی براساس نتایج



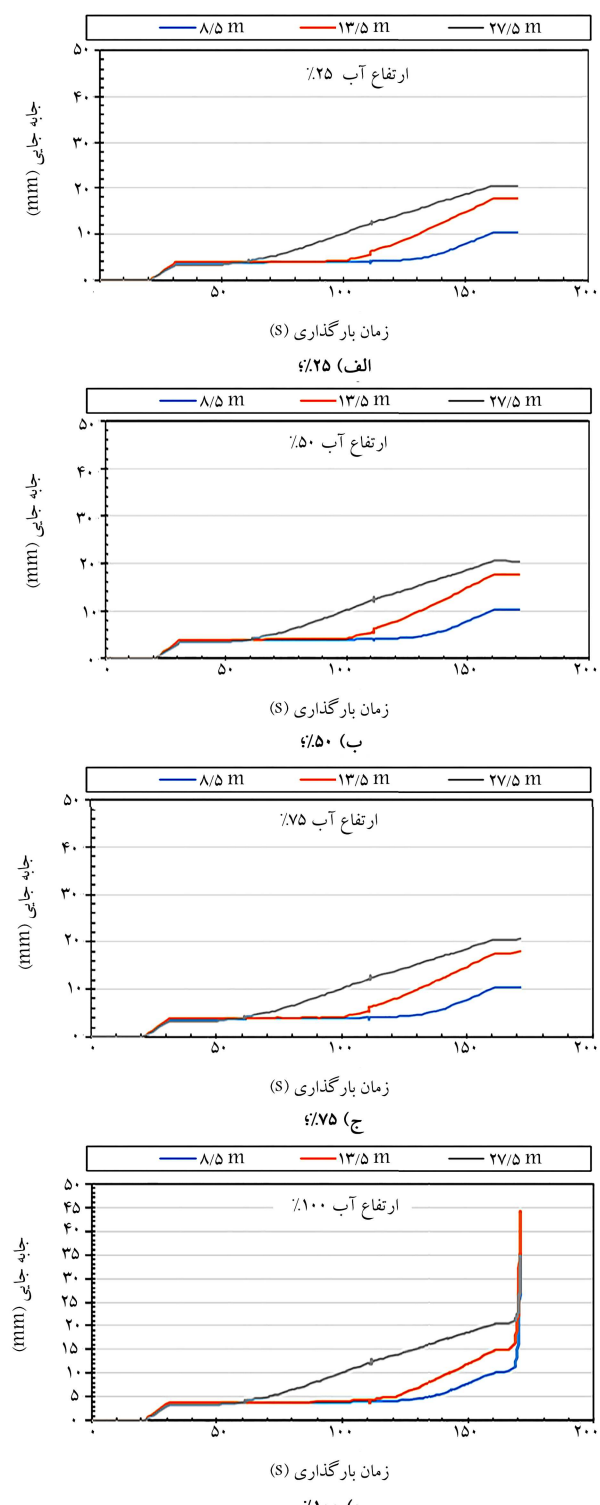
شکل ۱۲. پوش بیشینه‌ی تنفس کششی به دست آمده از نرم افزار در ترازهای مختلف آب.

۲. با درنظر گرفتن آثار دما در رفتار مواد ژئوستیک در سیستم پوشش جداری لندهیل به دلیل پیچیدگی آن نمی‌توان از روش‌های طراحی مرسوم استفاده کرد. با این حال، باید تلاش کرد تا تأثیر چرخه‌های دما در عملکرد سیستم پوشش جداری لندهیل در نظر گرفته شود، زیرا لایه‌های مذکور به دلیل سرعت پاسخ پوشش پُرشدن زباله برای مدت طولانی بدون پوشش باقی می‌مانند.

۳. جابه‌جایی نسبی بین ژئوتکسیل و ژئومبرین می‌تواند تنفس بشی سطح مشترک را توسعه دهد و در نتیجه باعث کاهش پایداری و لغزش سیستم پوشش در زیر پسماند شود. در صورتی که اگر ژئوستیک‌ها برای مدت طولانی در معرض شرایط محیطی آزاد قرار گیرند، توصیه می‌شود از مقادیر کاهش بافتی مقاومت بشی اندرکش و مقادیر اصلاح شده برای خصوصیات مقاومتی مصالح در طرح استفاده شود.

۴. با فرض اشباع بودن لایه‌ی رس، فشار هیدرواستاتیکی مستقیماً به لایه‌ی ژئومبرین به عنوان لایه‌ی عالی در چهار کد ارتفاعی اعمال و جابه‌جایی‌ها و تنفس‌ها در لایه‌های GM و GT شده‌اند. نتایج جابه‌جایی‌ها و همچنین تنفس‌های برشی در لایه‌های ذکر شده نشان داد که فشار آب تا ۷۵٪ از ارتفاع شبی، تأثیر بسیار کمی در رفتار ژئوستیک‌ها داشته است. اما زمانی که سطح آب به ۱۰۰٪ ارتفاع شبی رسیده است، جابه‌جایی‌ها و تنفس‌ها به طور چشمگیری افزایش یافته‌اند، به طوری که از حدود تنفس گسیختگی اعلام شده توسط کارخانه‌ی تأمین‌کننده ژئومبرین فراتر رفته‌اند. لذا، این امر می‌تواند منجر به پارگی لایه‌ی ژئومبرین شود.

۵. با توجه به خطر نایپایداری جداره به دلیل آب‌شستگی و همچنین عدم یکپارچگی سیستم عالی در اثر تنفس‌های خارجی، استفاده از امکانات انحراف آب و دریواسیون<sup>۱۲</sup> (دیواره‌ی هدایت آب) در پشت جداره‌های لندهیل در مناطق مستعد رواناب ضروری است.



شکل ۱۱. جابه‌جایی در لایه‌ی ژئوتکسیل در تراز آب.

### پانوشت‌ها

1. landfill
2. Dixon

3. residual
4. Abaqus
5. Liang
6. Milegate
7. Extensometer

8. Geomembrane
9. Geotextile
10. Zamara
11. Geosynthetic
12. Implicit
13. Derivation

## منابع (References)

1. Li, W., Hua, T. Zhou, Q. and et al. "Treatment of stabilized landfill leachate by the combined process of coagulation/flocculation and powder activated carbon adsorption", *Desalination*, **264**(1-2), pp. 56-62 (2010).
2. Sergio Collado, PO. and Mario Diaz, AL. "Impact of leachate composition on the advanced oxidation treatment", *Water Research*, **88**, pp. 389-402 (2016).
3. Koerner, R.M. and Hwu, B.L. "Stability and tension considerations regarding cover soils on geomembrane lined slopes", *Geotext. Geomembranes*, **10**(4), pp. 335-355 (1991).
4. Koerner, R.M. and Soong, T.Y. "Stability assessment of ten large landfill failures", ASCE Geo-Denver 2000, Advances in Transportation and Geoenvironmental Systems Using Geosynthetics (2000).
5. Qian, X., Koerner, R.M. and Gray, D.H. "Translational failure analysis of landfills", *J. Geotech. Geoenvirons Eng.*, **129**(6), p.506 (2003).
6. Fox, P.J. and Stark, T.D. "State-of-the-art report: GCL shear strength and its measurement- ten-year update", *Geosynth. Int.*, **22**(1), pp. 3-47 (2015).
7. Feng, Sh.-J. and Lu, Sh.-F. "Repeated shear behaviors of geotextile/geomembrane and geomembrane/clay interfaces", *Environ. Earth Sci.*, **75**, pp.273 (2016).
8. Rowe, R.K., Brachman, R.W.I., Take, W.A. and et al. "Field and laboratory observations of down-slope bentonite migration in exposed composite liners", *Geotext. Geomembranes*, **44**(5), pp. 686-706 (2016).
9. Zamara, K.A., Dixon, N., Jones, D.R.V. and et al. "Monitoring of a landfill side slope lining system: Instrument selection, installation, and performance", *Geotext. Geomemb.*, **35**, pp. 1-13 (2012).
10. Jones, D.R.V. and Dixon, N. "Landfill lining stability and integrity: The role of waste settlement", *Geotext. Geomemb.*, **23**(1), pp. 27-53 (2004).
11. Dixon, N., Zamara, K.A., Jones, D.R.V. and et al. "September. waste/lining system interaction: Implications for landfill design and long-term performance", *Geotechnical Engineering*, **43**(3), pp. 1-10 (2012).
12. Miri, A., Ali Zakeri, J., Thambiratnam, D.P. and et al. "Mitigation of track buckling in transition zones of steel bridges by geotextile reinforcement of the ballast layer", *Geotextiles and Geomembranes*, **50**(2), pp. 282-292 (2021).
13. Voottipruex, P., Bergado, D.T., Lam, L.G. and et al. "Back-analyses of flow parameters of PVD improved soft Bangkok clay with and without vacuum preloading from settlement data and numerical simulations", *Geotextiles and Geomembranes*, **42**(5), pp. 457-467 (2014).
14. Biabani, M.M., Indraratna, B. and Ngo, N.T. "Modeling of geocell-reinforced sub-ballast subjected to cyclic loading", *Geotextiles and Geomembranes*, **44**(4), pp. 489-503 (2016).
15. Debnath, P. and Dey, A.K. "Bearing capacity of geogrid reinforced sand over encased stone columns in soft clay", *Geotextiles and Geomembranes*, **45**(6), pp. 653-664 (2017).
16. Rasouli, H. and Fatahi, B. "Geosynthetics reinforced interposed layer to protect structures on deep foundations against strike-slip fault rupture", *Geotextiles and Geomembranes*, **49**(3), pp. 722-736 (2021).
17. Liang, J., Zhang, G., Ba, Zh. and et al. "Development of a 3D fluid-saturated element for dynamic analysis of two-phase media in ABAQUS based on u-U formed equations", *Computers, and Geotechnics*, **139**, p. 104377 (2021).
18. Zamara, K.A., Dixon, N., Fowmesc, G. and "Landfill side slope lining system performance: A comparison of field measurements and numerical modeling analyses", *Geotext. and Geomemb.*, **42**(3), pp. 224-235 (2014).
19. Yang, R., Xu, Z. and Chai, J. "Numerical analysis of three-dimensional infiltration in a municipal solid waste landfill under rainfall", *Polish Journal of Environmental Studies*, **29**(2), pp. 1953-1963 (2020).
20. Fowmes, G.J., Dixon, N. and Jones, D.R.V. "Validation of a numerical modelling technique for multilayered geosynthetic landfill lining systems", *Geotext. Geomemb.*, **26**(2), pp. 109-121 (2008).